

ный (рис. 2).  
характерно  
с максималь-  
ного — незна-  
нижних зон  
— незна-  
средних зон  
— увеличение  
к верхним с  
верхних зон;  
личие раз-  
дения венти-  
лого или низ-  
ней зоны  
— % верхней

х нами здо-  
роста встреча-  
1,1 %), асим-  
метричной (15,7 %)  
илиации. Уста-  
вешущим яв-

ентиляции в за-  
) зон легких:  
з — верхушечный,  
ной, 6 — асиммет-

имметричный  
ым для жен-  
ке, что асим-  
риантов. Ве-  
ны (верхняя  
ева; нижняя  
и в 35,0 %  
права; ниж-  
0 % и даже  
а и т. д.) —  
асимметрич-  
тевые зоны;  
и отношении  
едней справа  
когда макси-  
х зон. Более  
аспределения  
из верхних

их выявлены  
ый, грудной,  
чный.  
меет различ-  
жду соответ-  
ственный и груд-  
вентиляции.

## REGIONAL IRREGULARITY OF LUNG VENTILATION IN HEALTHY PEOPLE

V. K. Anshukov, Yu. N. Golovtsev, E. M. Kucherenko, V. F. Dovgalenko, Z. T. Malyarchuk,  
L. A. Todosienko, A. F. Apon, N. P. Tkachenko, M. P. Valdman, V. M. Sholokhov

The method of zonal rheography has been used to determine in healthy people the participation (%) of lung zones in ventilation and their correlations. As a result six types of respiration are discriminated — diaphragmatic, thoracic, apical, lower thoracic, upper thoracic and asymmetrical. Diaphragmatic, thoracic and asymmetric types are considered to be the most frequent. The ignorance of individual peculiarities of the regional ventilation may result in wrong estimation of zonal lung rheography data.

N. I. Pirogov Medical Institute, Ministry of Public Health,

Ukrainian SSR, Vinnitsa

Polytechnical Institute, Ministry of Higher  
and Secondary Education, Ukrainian SSR, Vinnitsa

1. Боголюбов В. М. Радиоизотопная диагностика заболеваний сердца и легких.— М. : Медицина, 1975.—254 с.
2. Громов В. Л., Добо С. С., Балавадзе М. Б., Шашнов С. А. Взаимосвязь факторов риска с толерантностью к физической нагрузке по данным велоэргометрии // Терапевт. арх.— 1984.— № 4.— С. 61—63.
3. Жуковский Л. И., Фринерман Е. А. Основы клинической реографии легких.— Ташкент : Медицина, 1976.—286 с.
4. Жуковский Л. И., Фринерман Е. А., Дмитренко С. М. Комплексное исследование функции вентиляции и легочного кровообращения методом зональной реографии: Метод. рекомендации.— Киев, 1977.—19 с.
5. Зильбер А. П. Регионарные функции легких: Клиническая физиология неравномерности вентиляции и кровотока.— Петрозаводск : Карелия, 1971.—280 с.
6. Зябров Ю. Т., Алтынбеков Б. Е., Абдрашитова Г. А., Заародин Н. В. Вентиляционная функция легких (физиология, патофизиология, методы исследования).— Алматы : Наука, 1980.—136 с.
7. Каминский Л. С. Статистическая обработка лабораторных и клинических данных: Применение статистики в научной и практической работе врача.— 2-е изд.— Л. : Медицина, 1964.—252 с.
8. Клиническая реография / Под ред. В. Г. Шершнева.— Киев : Здоров'я, 1977.—168 с.
9. Комаров Ф. И., Ольбинская Л. И. Начальная стадия сердечной недостаточности.— М. : Медицина, 1978.—287 с.
10. Молотков В. Н., Минцер О. П., Кононенко И. Н. и др. Кибернетический анализ велоэргометрических поликардиограмм при хроническом обструктивном бронхите // Клин. медицина.— 1984, № 12.— С. 75—81.
11. Молотков В. Н., Минцер О. П., Яшина А. Л., Пархоменко Н. В. Корреляционные взаимоотношения некоторых показателей центральной и периферической гемодинамики при бронхиальной астме // Терапевт. арх.— 1982.— № 4.— С. 48—51.
12. Ярошенко Ю. Т. Показатели спиро-велоэргометрии у практически здоровых мужчин в различные возрастные периоды // Врачеб. дело.— 1983.— № 9.— С. 22—25.

Винниц. мед. ин-т им. Н. И. Пирогова  
М-ва здравоохранения УССР;

Винниц. политехн. ин-т

М-ва высш. и сред. спец. образования УССР

Поступила 25.02.86

УДК 612.014.464; 612.273

## Проницаемость гематопаренхиматозного барьера для кислорода при его различном парциальном давлении во вдыхаемом воздухе

В. И. Носарь

Результаты исследований, проведенных Штерн и соавт. [7, 10, 14], показали наличие гистогематического барьера и выявили его избирательную проницаемость, регулирующую постоянство внутренней среды и защиту клеток от чужеродных веществ. Поскольку большинство есте-

ственных метаболитов и ксенобиотиков проходит путь в направлении кровь — клетка, преимущественное распространение получил термин «гематопаренхиматозный барьер», частным случаем которого является гематоэнцефалический барьер. Установлено, что скорость перехода веществ через гематопаренхиматозный барьер (ГПБ) изменяется в зависимости от функциональной активности органов и тканей, от состояния организма [10, 11]. Показано, что у акклиматизированных к гипоксии животных проницаемость ГПБ возрастает для меченного  $^{32}\text{P}$  неорганического фосфора [4]. Так как основной частью ГПБ являются структуры микроциркуляторного русла, многие авторы считают, что проницаемость ГПБ для крупномолекулярных веществ определяется свойствами эндотелия капилляров и базальной мембранны [7, 25]. Наряду с этим показано, что мембрана эритроцитов человека оказывает сопротивление потоку кислорода в среду, т. е. является барьером для низкомолекулярных неэлектролитов, и что скорость выхода кислорода зависит от структуры мембранны эритроцитов [19]. Установлено, что, пользуясь различным режимом питания, т. е. вводя в рацион различное количество насыщенных и ненасыщенных жирных кислот, можно изменить коэффициент диффузии кислорода в тканях [3].

Представляло интерес осуществить количественную оценку проницаемости ГПБ для кислорода при повышенном и пониженном давлении кислорода в окружающей среде.

### Методика

Исследования проводили на 69 кроликах (самцы массой 2,0—2,5 кг). Газовые смеси подавали через маску, снабженную клапанами вдоха и выдоха, в течение 20 мин. Кровь брали из бедренных артерий и вены под местной новокаиновой анестезией. В течение всего времени эксперимента регистрировали напряжение кислорода в притекающей к нижней конечности артериальной крови ( $p_a\text{O}_2$ ), оттекающей от этой же конечности венозной крови ( $p_v\text{O}_2$ ),  $\text{pH}$  артериальной и венозной крови ( $\text{pH}_a$ ,  $\text{pH}_v$ ), концентрацию гемоглобина ( $[\text{Hb}]$ ), скорость объемного кровотока в икроножной мышце ( $Q_m$ ) и напряжение кислорода в мышце ( $p_m\text{O}_2$ ). Напряжение кислорода в тканях измеряли открытым остеоклаванным платиновым электродом на полярографе LP-7 [2],  $p\text{O}_2$  и  $\text{pH}$  крови — с помощью биомикроанализатора фирмы «Radelkis». Концентрацию гемоглобина определяли стандартным гемиглобинцианидным методом, скорость объемного мышечного кровотока — по клиренсу водорода [16]. На основании измеряемых показателей и кривой диссоциации оксигемоглобина кролика [13] с учетом эффекта Бора рассчитывали насыщение крови кислородом ( $S_a\text{O}_2$ ,  $S_v\text{O}_2$ ), кислородную емкость крови рассчитывали из значений концентрации  $\text{Hb}$  и константы Гюфнера. Содержание кислорода в артериальной и венозной крови ( $C_a\text{O}_2$ ,  $C_v\text{O}_2$ ) рассчитывали по кислородной емкости крови и проценту насыщения кислородом. Потребление кислорода мышцей ( $V_m\text{O}_2$ ) вычисляли на основании скорости кровотока и артериовенозного различия по содержанию кислорода [6]. Среднее напряжение кислорода в капиллярной крови ( $\bar{p}\text{O}_2$ ) рассчитывали по формуле [21]  $\bar{p}\text{O}_2 = p_a\text{O}_2 + 3^{-1} (p_a\text{O}_2 - p_v\text{O}_2)$ . В соответствии с законом Фика количество вещества ( $m$ ), диффундирующее через единицу площади  $A$  за единицу времени, прямо пропорционально градиенту концентрации ( $C_1 - C_2$ )

$$m = D A l^{-1} (C_1 - C_2), \quad (1)$$

где  $l$  — толщина слоя, через который происходит диффузия,  $D$  — коэффициент диффузии. Из уравнения следует, что масса продиффундированного вещества прямо пропорциональна площади  $A$  и обратно пропорциональна расстоянию диффузии  $l$ . Коэффициент диффузии  $D$  представляет собой постоянную, зависящую как от свойств диффундирующего газа, так и от свойств среды, через которую происходит диффузия. В случае, когда рассматривается диффузия газа через слой жидкости, вместо концентрации газа ( $C$ ) можно использовать его парциальное давление ( $p$ )

$$m = D A l^{-1} (p_1 - p_2). \quad (2)$$

Поскольку общее количество кислорода, диффундирующего в тканях, равно количеству потребленного организмом кислорода ( $\dot{V}_m\text{O}_2$ )

$$\dot{m} = \dot{V}_m\text{O}_2. \quad (3)$$

Аналитическое о  
му уместно опре  
проницаемость 1  
вид:

где ( $p_1 - p_2$ ) —  
обменного типа  
смеси с 7, 11, 2  
чески.

### Результаты и

Проведенные  
духом  $p_a\text{O}_2$   
(рт. ст),  $p_v\text{O}_2$

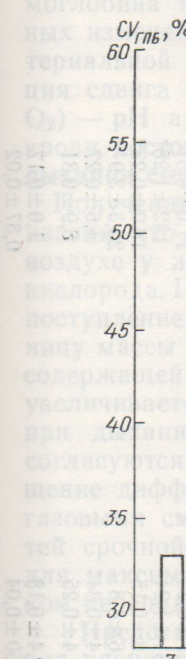


Рис. 1. Изменение барьера ( $CV_{\text{GPB}}$ ) в зависимости от различия

Рис. 2. Изменение  $\times 10^{-2}$ ) к скорости

скелетной мышцы  
скорость обмена  
 $\pm 3,5$  мл·ми  
нами формула  
составляет (1)  
показателя с  
(рис. 2). Сниже  
приводит к ре  
поксемии у жи  
ния содержит  
ное различие  
смеси 11 %

Физиол. журн. 1988, т. 34, № 1

направлении чил термин ого является перехода ве- является в за- от состоя- рованных к еченного  $^{32}\text{P}$  Б являются считают, что пределяется [7, 25]. На- а оказывает арьером для а кислорода овлено, что, и различное можно из-

енку прони- ом давлении

Газовые смеси  
ечение 20 мин.  
ой анестезии.  
орода в прите-  
от этой же ко-  
( $p_{\text{A}}$ ,  $p_{\text{V}}$ ),  
южной мыш-  
рода в тканях  
рафе LP-7 [2].  
Концентра-  
корость объем-  
и измеряемых  
четом эффекта  
одную емкость  
а. Содержание  
и по кислород-  
ислорода мыш-  
ного различия  
млярной крови  
. В соответ-  
диницу площа-  
ации ( $C_1 - C_2$ )

(1)  
ицент дифу-  
примо пропор-  
ции  $I$ . Коэффи-  
войств диффун-  
фузия. В слу-  
ко концентрации  
(2)  
равно количест-  
вен икеси  
ионици юрги  
зелитни (3)

Аналитическое определение факторов  $D$ ,  $A$  и  $I$  в целом организме невозможно, поэтому уместно определить их общий вклад, обозначив совокупность этих факторов через проницаемость ГПБ ( $\Pi_{\text{ГПБ}}$ ). В этом случае формула (3) приобретает следующий вид:

$$\dot{V}_{\text{m}} \text{O}_2 = \Pi_{\text{ГПБ}} \cdot (p_1 - p_2) \quad \text{и} \quad \Pi_{\text{ГПБ}} = \dot{V}_{\text{m}} \text{O}_2 \cdot (p_1 - p_2)^{-1}, \quad (4)$$

где  $(p_1 - p_2)$  — средний градиент парциального давления кислорода между сосудами обменного типа и тканевой жидкостью. В экспериментах были использованы газовые смеси с 7, 11, 21, 40 и 80 % кислорода. Все цифровые данные обработаны статистически.

### Результаты и их обсуждение

Проведенные эксперименты показали, что при дыхании животных воздухом  $p_{\text{aO}_2}$  составляет  $11,6 \text{ кПа} \pm 0,30 \text{ кПа}$  ( $87,0 \text{ мм рт. ст.} \pm 2,3 \text{ мм рт. ст.}$ ),  $p_{\text{vO}_2} = 5,1 \text{ кПа} \pm 0,20 \text{ кПа}$  ( $38,3 \text{ мм рт. ст.} \pm 1,5 \text{ мм рт. ст.}$ ) в

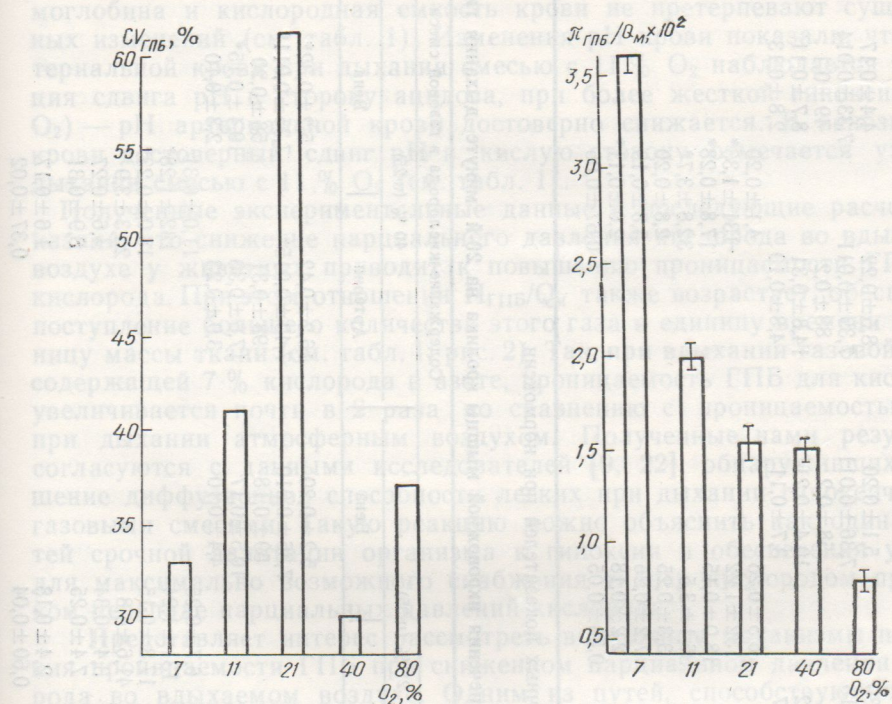


Рис. 1. Изменение коэффициента вариации проницаемости гематопаренхиматозного барьера ( $CV_{\text{ГПБ}}$ , %) для кислорода при дыхании кроликов газовой смесью, содержащей различное количество кислорода ( $O_2$ , %).

Рис. 2. Изменение отношения проницаемости гематопаренхиматозного барьера ( $\Pi_{\text{ГПБ}}$ ,  $\times 10^{-2}$ ) к скорости кровотока ( $Q_m$ , %) на 20-й минуте дыхания кроликов газовой смесью, содержащей различное количество кислорода ( $O_2$ , %).

скелетной мышце —  $3,3 \text{ кПа} \pm 0,25 \text{ кПа}$  ( $24,8 \text{ мм рт. ст.} \pm 1,9 \text{ мм рт. ст.}$ ), скорость объемного кровотока в скелетной мышце была  $(36,1 \pm \pm 3,5) \text{ мл} \cdot \text{мин}^{-1} \times 100 \text{ г ткани}$ . На основании расчетов по предложенной нами формуле 15 показано, что проницаемость ГПБ для кислорода составляет  $(0,56 \pm 0,05) \text{ мл} \cdot \text{мин}^{-1} \cdot \text{кПа}^{-1}$ . Коэффициент вариации этого показателя составляет 61 % (рис. 1); отношение  $\Pi_{\text{ГПБ}}$  к  $Q_m$  —  $0,015$  (рис. 2). Снижение парциального давления  $O_2$  во вдыхаемом воздухе приводит к развитию артериальной и (в меньшей степени) венозной гипоксии у животных, которая прежде всего зависит от степени снижения содержания кислорода во вдыхаемой смеси (табл. 1). Артериовенозное различие по  $pO_2$  при гипоксии достоверно снижается при вдыхаемой смеси 11 %  $O_2$  и резко уменьшается при острой гипоксической гипоксии с

**Таблица 1.** Показатели  $M \pm m$  кислородного обеспечения икроножной мышцы кролика на 20-й минуте дыхания гипоксическими газовыми смесями

Показатель	Содержание кислорода в газовой смеси					
	21 % (n=34)	11 % (n=12)	7 % (n=10)			
	Артерия	Вена	Артерия	Вена	Артерия	Вена
$\rho_{O_2}$ , кПа	11,6 ± 0,030	5,1 ± 0,20	8,5 ± 0,22	4,4 ± 0,17	5,9 ± 0,21	3,2 ± 0,11
$pH$	7,41 ± 0,015	7,36 ± 0,011	7,39 ± 0,011	7,33 ± 0,014	7,36 ± 0,011	7,30 ± 0,010
$S O_2$ , %	92 ± 0,3	58 ± 0,2	83 ± 0,2	49 ± 0,1	67 ± 0,2	30 ± 0,1
$C O_2$ (объемная доля), %	16,6 ± 0,32	10,4 ± 0,21	14,8 ± 0,31	8,7 ± 0,11	11,8 ± 0,28	5,3 ± 0,10
$Q_{O_2}$ , мл/мин	5,9 ± 0,17	3,7 ± 0,11	4,8 ± 0,10	2,8 ± 0,13	3,4 ± 0,20	1,5 ± 0,09
$\rho_{(a-y)}O_2$ , кПа						
$Hb$ , г/л						
KEK (объемная доля), %						
$Q_{bs}$ , мл·мин <sup>-1</sup> ·100 г ткани <sup>-1</sup>						
$P_mO_2$ , кПа						
$P_cO_2$ , кПа						
$V_{m}O_2$ , мл·мин <sup>-1</sup> ·100 г ткани <sup>-1</sup>						
$P_{TPB}$ , мл·мин <sup>-1</sup> ·кПа <sup>-1</sup>						

\* Показатели не отличаются достоверно от аналогичных показателей при нормоксии.

**Таблица 2.** Показатели  $(M \pm m)$  кислородного обеспечения икроножной мышцы кролика на 20-й минуте дыхания гипероксическими газовыми смесями

Показатель	Содержание кислорода в газовой смеси					
	21 % (n=35)	40 % (n=25)	80 % (n=10)			
	Артерия	Вена	Артерия	Вена	Артерия	Вена
$\rho_{O_2}$ , кПа	11,9 ± 0,30	5,2 ± 0,20	16,2 ± 0,42	5,2 ± 0,32*	33,9 ± 1,5	5,3 ± 0,15*
$pH$	7,41 ± 0,011	7,36 ± 0,010	7,40 ± 0,015*	7,35 ± 0,011*	7,38 ± 0,010	7,32 ± 0,012
$S O_2$ , %	92 ± 0,28	59 ± 0,18	98 ± 0,31	58 ± 0,20	100 ± 0,01	58 ± 0,10
$C O_2$ (объемная доля), %	16,4 ± 0,29	10,5 ± 0,17	17,6 ± 0,30	10,4 ± 0,15*	17,5 ± 0,34	10,2 ± 0,17*
$Q_{O_2}$ , мл/мин	6,8 ± 0,15	4,4 ± 0,10	3,9 ± 0,23	2,3 ± 0,10	3,6 ± 0,29	2,1 ± 0,10
$\rho_{(a-y)}O_2$ , кПа						
$Hb$ , г/л						
KEK (объемная доля), %						
$Q_{bs}$ , мл·мин <sup>-1</sup> ·100 г ткани <sup>-1</sup>						
$P_mO_2$ , кПа						
$P_cO_2$ , кПа						
$V_{m}O_2$ , мл·мин <sup>-1</sup> ·100 г ткани <sup>-1</sup>						
$P_{TPB}$ , мл·мин <sup>-1</sup> ·кПа <sup>-1</sup>						

\* Показатели не отличаются достоверно от аналогичных показателей при нормоксии.

7 %  $O_2$ ;  $pO_2$  вдыхаемой сляющими у либо органи [2, 8]. При с 11 %  $O_2$ ,  $O_2$  этот покребления к нормоксичес  $O_2$ ) скоростстоверно.

Таким с ниже 50 м уменьшением мышечн При оствоглобина ных изменен териальной ция сдвига  $O_2$ ) — pH а крови досто дыхании смеси.

Полученные казали, что воздухе у ж кислорода. П поступление ницу массы содержащей увеличивается при дыхании согласуются шение дифф газовыми стей срочной для максим ком перепада.

Представн яния прониц рода во вд печению тка крови, обус вправо, т. е. его отдача изменение с [17, 23]. У жеет происх фильтрации смесями с 1 играет ведущими газами исследован венного вли ткань. Неко ла открыть гипоксический

Повыш духе приво (табл. 2). Сью с 80 %

$Q_m$ , $\text{мл} \cdot \text{мин}^{-1} \cdot 100 \text{ г ткани}^{-1}$	$41,6 \pm 4,8$
$P_m O_2$ , кПа	$3,4 \pm 0,34$
$p_a O_2$ , кПа	$7,4 \pm 0,25$
$V_m O_2$ , $\text{мл} \cdot \text{мин}^{-1} \cdot 100 \text{ г ткани}^{-1}$	$2,4 \pm 0,18$
$\Pi_{GPB}$ , $\text{мл} \cdot \text{мин}^{-1} \cdot \text{kPa}^{-1}$	$0,60 \pm 0,04$

\* Показатели не отличаются достоверно от аналогичных показателей при нормоксии.

7 %  $O_2$ ;  $pO_2$  в скелетной мышце, по мере снижения содержания  $O_2$  во вдыхаемой смеси, неуклонно снижается. Важными факторами, определяющими уровень  $pO_2$  в ткани, являются интенсивность регионарного либо органного, кровотока и скорость потребления кислорода тканью [2, 8]. При острой гипоксической гипоксии, вызванной вдыханием смеси с 11 %  $O_2$ ,  $Q_m$  изменяется незначительно, при вдыхании смеси с 7 %  $O_2$  этот показатель снижается достоверно (см. табл. 1). Скорость потребления кислорода мышцей при гипоксии (11 %  $O_2$ ) несколько ниже нормоксического уровня. По мере нарастания тяжести гипоксии (7 %  $O_2$ ) скорость потребления  $O_2$  против этого уровня уменьшается достоверно.

Таким образом, показано, что снижение  $pO_2$  артериальной крови ниже 50 мм рт. ст. (7 %  $O_2$  во вдыхаемой смеси) сопровождается уменьшением скорости доставки  $O_2$  к мышце и скорости его потребления мышечной тканью.

При острой гипоксической гипоксии (11 и 7 %  $O_2$ ) содержание гемоглобина и кислородная емкость крови не претерпевают существенных изменений (см. табл. 1). Изменения  $pH$  крови показали, что в артериальной крови при дыхании смесью с 11 %  $O_2$  наблюдается тенденция сдвига  $pH$  в сторону ацидоза, при более жесткой гипоксии (7 %  $O_2$ ) —  $pH$  артериальной крови достоверно снижается. В венозной же крови достоверный сдвиг  $pH$  в кислую сторону отмечается уже при дыхании смесью с 11 %  $O_2$  (см. табл. 1).

Полученные экспериментальные данные и последующие расчеты показали, что снижение парциального давления кислорода во вдыхаемом воздухе у животных приводит к повышению проницаемости ГПБ для кислорода. При этом отношении  $\Pi_{GPB}/Q_m$  также возрастает, обеспечивая поступление большего количества этого газа в единицу времени на единицу массы ткани (см. табл. 1, рис. 2). Так, при вдыхании газовой смеси, содержащей 7 % кислорода в азоте, проницаемость ГПБ для кислорода увеличивается почти в 2 раза по сравнению с проницаемостью ГПБ при дыхании атмосферным воздухом. Полученные нами результаты согласуются с данными исследователей [9, 22], обнаруживших повышение диффузационной способности легких при дыхании гипоксическими газовыми смесями. Такую реакцию можно объяснить как один из путей срочной адаптации организма к гипоксии и обеспечения условий для максимально возможного снабжения тканей кислородом при низком перепаде парциальных давлений кислорода.

Представляет интерес рассмотреть возможные механизмы повышения проницаемости ГПБ при сниженном парциальном давлении кислорода во вдыхаемом воздухе. Одним из путей, способствующих обеспечению тканей кислородом, может выступать изменение  $pCO_2$  и  $pH$  крови, обусловливающее сдвиг кривой диссоциации оксигемоглобина вправо, т. е. снижение сродства гемоглобина к кислороду и облегчение его отдачи тканям [8, 24]. Другим возможным механизмом может быть изменение физико-химических свойств гематопаренхиматозного барьера [17, 23]. Улучшение транспорта  $O_2$  к тканям в условиях гипоксических газовыми смесями остается открытым и требует дальнейших исследований. Скорость мышечного кровотока не оказывает существенного влияния на улучшение массопереноса кислорода из крови в ткань. Некоторые авторы указывают на незначительное изменение числа открытых капилляров в скелетных мышцах животных при острой гипоксической гипоксии (7—11 %  $O_2$ ) [8, 18].

Повышение парциального давления кислорода во вдыхаемом воздухе приводит к резкому повышению  $pO_2$  в артериальной крови (табл. 2). Эта реакция особенно четко проявляется при дыхании смесью с 80 %  $O_2$ ;  $pO_2$  в венозной крови достоверно не изменяется, арте-

риовенозное различие по  $pO_2$ , по мере увеличения содержания кислорода во вдыхаемой смеси, повышается. Парциальное давление кислорода в скелетной мышце на всем протяжении эксперимента при дыхании гипероксическими газовыми смесями увеличивается, однако уровень повышения  $p_mO_2$  резко отстает от такового в артериальной крови. Определение объемного кровотока в мышечной ткани показывает, что его скорость на 20-й минуте дыхания животного смесями с 40 и 80 %  $O_2$  снижается (см. табл. 2). Скорость потребления кислорода мышцей при гипероксии снижается по отношению к исходному уровню (см. табл. 2).

Таким образом, показано, что повышение  $pO_2$  артериальной крови сопровождается уменьшением скорости доставки  $O_2$  к мышце, снижением его потребления мышечной тканью и незначительным повышением  $pO_2$  в скелетной мышце.

Концентрация гемоглобина крови и кислородная емкость крови не претерпевает значительных изменений. При дыхании гипероксической газовой смесью с 80 %  $O_2$  отмечается достоверное снижение  $pH$  артериальной и венозной крови, что свидетельствует о накоплении недоокисленных продуктов. Полученные результаты и последующие расчеты показали, что при переходе на дыхание гипероксической газовой смесью, содержащей 80 %  $O_2$  в азоте, проницаемость ГПБ снижается более чем в 3 раза. Отношение проницаемости ГПБ к объемному кровотоку уменьшается почти вдвое. Такое снижение исследуемых показателей в условиях гипероксии является одним из защитных механизмов, ограничивающих избыточный прирост парциального давления кислорода в тканях. Наличие сосудистых и метаболических реакций, ограждающих ткань от токсического действия высоких концентраций кислорода показано ранее многими авторами [5, 20]. Следует отметить, что при дыхании газовой смесью, содержащей 40 %  $O_2$ , проницаемость ГПБ для кислорода снижается почти в 2 раза, однако, отношение, проницаемости к объемному кровотоку практически не изменяется. Этот факт подтверждает целесообразность применения в клинике с лечебной целью газовой среды, содержащей около 40 % кислорода [12]. Как показали расчеты, коэффициент вариации проницаемости ГПБ для кислорода при дыхании как гипоксическими, так и гипероксическими газовыми смесями, достоверно снижается (см. рис. 1).

Полученные результаты позволяют говорить о том, что ГПБ принимает активное участие в поддержании газового гомеостаза и в регуляции процессов дыхания тканей. При избыточном поступлении кислорода в организм проницаемость ГПБ для кислорода снижается, при недостаточном — повышается.

## Выводы

1. Проницаемость гематопаренхиматозного барьера для кислорода при дыхании воздухом у кроликов составляет  $(0,58 \pm 0,05)$   $\text{мл} \cdot \text{мин}^{-1} \cdot \text{kPa}^{-1}$ ; при переходе на дыхание гипоксической газовой смесью с 7 %  $O_2$  на 20-й минуте проницаемость гематопаренхиматозного барьера повышается почти вдвое ( $1,05 \text{ мл} \cdot \text{мин}^{-1} \cdot \text{kPa}^{-1} \pm 0,09 \text{ мл} \cdot \text{мин}^{-1} \cdot \text{kPa}^{-1}$ ), в условиях гипероксии (80 %  $O_2$ ) — снижается более чем в 3 раза ( $0,18 \text{ мл} \cdot \text{мин}^{-1} \cdot \text{kPa}^{-1} \pm 0,01 \text{ мл} \cdot \text{мин}^{-1} \cdot \text{kPa}^{-1}$ ).

2. Коэффициент вариации проницаемости гематопаренхиматозного барьера для кислорода при дыхании животных воздухом составляет 61 %. Применение газовых смесей с повышенным (40,80 %  $O_2$ ) и понижением парциальным давлением кислорода (7 %  $O_2$ ) приводит к снижению коэффициента вариации проницаемости гематопаренхиматозного барьера до 30—37 %.

3. Полученные результаты позволяют считать, что гематопаренхиматозный барьер является одним из регуляторов потоков кислорода в организме и интенсивности дыхания тканей.

## PERMEABILITY FOR OXYGEN IN RESPIRATOR

V. I. Nosar

It is shown that the matous barrier on coefficient of blood flow.  $P_{CO_2}$  in the hypoxic gas in breathing time change, in spite containing 40 % hypoxic and hyperchymatous tensity.

A. A. Bogomolev  
Academy of Sci

1. Артемьева А. А. Показатели гематопаренхиматозного барьера для кислорода при дыхании гипоксической смесью // Физиол. журн. 1985. — № 10. — С. 1020 ± 0,04.
2. Березовский В. А. Показатели гематопаренхиматозного барьера для кислорода при дыхании гипоксической смесью // Физиол. журн. 1985. — № 10. — С. 1020 ± 0,04.
3. Березовский В. А. Показатели гематопаренхиматозного барьера для кислорода при дыхании гипоксической смесью // Физиол. журн. 1985. — № 10. — С. 1020 ± 0,04.
4. Вержбинская Е. А. Показатели гематопаренхиматозного барьера для кислорода при дыхании гипоксической смесью // Физиол. журн. 1985. — № 10. — С. 1020 ± 0,04.
5. Зальцман Г. А. Показатели гематопаренхиматозного барьера для кислорода при дыхании гипоксической смесью // Физиол. журн. 1985. — № 10. — С. 1020 ± 0,04.
6. Колчинская Н. А. Показатели гематопаренхиматозного барьера для кислорода при дыхании гипоксической смесью // Физиол. журн. 1985. — № 10. — С. 1020 ± 0,04.
7. Майзелис Л. А. Показатели гематопаренхиматозного барьера для кислорода при дыхании гипоксической смесью // Физиол. журн. 1973. — 182 с.
8. Маньковская Т. А. Показатели гематопаренхиматозного барьера для кислорода при дыхании гипоксической смесью // Физиол. журн. 1985. — № 10. — С. 1020 ± 0,04.
9. Пожаров В. А. Показатели гематопаренхиматозного барьера для кислорода при дыхании гипоксической смесью // Физиол. журн. 1985. — № 10. — С. 1020 ± 0,04.
10. Росин Я. А. Показатели гематопаренхиматозного барьера для кислорода при дыхании гипоксической смесью // Физиол. журн. 1985. — № 10. — С. 1020 ± 0,04.
11. Серебрякова Е. А. Показатели гематопаренхиматозного барьера для кислорода при дыхании гипоксической смесью // Физиол. журн. 1981. — № 10. — С. 1020 ± 0,04.
12. Середенко М. А. Показатели гематопаренхиматозного барьера для кислорода при дыхании гипоксической смесью // Физиол. журн. 1982. — № 10. — С. 1020 ± 0,04.
13. Шмидт-Ниелль А. А. Показатели гематопаренхиматозного барьера для кислорода при дыхании гипоксической смесью // Физиол. журн. 1982. — № 10. — С. 1020 ± 0,04.
14. Штерн Л. С. Показатели гематопаренхиматозного барьера для кислорода при дыхании гипоксической смесью // Физиол. журн. 1982. — № 10. — С. 1020 ± 0,04.
15. А. с. 1120961. Показатели гематопаренхиматозного барьера для кислорода при дыхании гипоксической смесью // Физиол. журн. 1982. — № 10. — С. 1020 ± 0,04.
16. Aukland K. H. Hydrogen gas diffusion across the pulmonary capillary membrane // J. Physiol. 1982. — 363. — P. 103.
17. Bryant S. C. The effect of hydrogen gas on the permeability of the pulmonary capillary membrane // J. Physiol. 1982. — 363. — P. 103.
18. Honig C. F. The effect of hydrogen gas on the permeability of the pulmonary capillary membrane // J. Physiol. 1982. — 363. — P. 103.
19. Kon Kazunori. The effect of hydrogen gas on the permeability of the pulmonary capillary membrane // J. Physiol. 1982. — 363. — P. 103.
20. Lambertsen C. J. The effect of hydrogen gas on the permeability of the pulmonary capillary membrane // J. Physiol. 1982. — 363. — P. 103.

Физиол. журн. 1988, т. 34, № 1

ния кисло-  
ение кисло-  
при дыха-  
ко уровень  
крови. Оп-  
ает, что его  
и 80 % O<sub>2</sub>  
ышщей при  
табл. 2).  
ьной крови  
це, сниже-  
повышенни-  
крови не  
оксической  
рН арте-  
ени недо-  
ющие рас-  
ой газовой  
снижается  
ному кро-  
их показа-  
ханизмов,  
и кислоро-  
ограждаю-  
кислорода  
, что при  
ГПБ для  
оницаемо-  
факт под-  
ной целью  
показали  
кислорода  
газовыми

ГПБ при-  
и в регу-  
ии кисло-  
ется, при  
кислорода при  
-1. кПа-1;  
% O<sub>2</sub> на  
повыша-  
, в услов-  
0,18 мл ×

атозного  
ставляет  
и пони-  
т к сни-  
матозно-  
кислорода в

Показатели не отличаются достоверно от аналогичных показателей при нормоксии

PERMEABILITY OF THE HEMATOPARENCHYMATOUS BARRIER FOR OXYGEN UNDER THE EFFECT OF PARTIAL OXYGEN PRESSURE IN RESPIRATORY AIR

V. I. Nosar

It is shown that in rabbits under normal conditions permeability of the hematoparenchymatous barrier for oxygen ( $P_{\text{HPB}}$ ) equals  $(0.58 \pm 0.05) \text{ ml} \cdot \text{min}^{-1} \cdot \text{kPa}^{-1}$ , and the variation coefficient of this index is 61 %. The  $P_{\text{HPB}}/Q_m$  ratio equals 0.015 ( $Q_m$  — muscular blood flow).  $P_{\text{HPB}}$  and  $P_{\text{HPB}}/Q_m$  ratio is almost twice as high in transition to breathing the hypoxic gas mixture with 7 % O<sub>2</sub> at the 20th minute. These indices sharply decrease in breathing the hyperoxic gas mixture with 80 % O<sub>2</sub>. The  $P_{\text{HPB}}/Q_m$  ratio does not change, in spite of a significant decrease in  $P_{\text{HPB}}$  during ventilation with gas mixture containing 40 % O<sub>2</sub>. The variation coefficient of  $P_{\text{HPB}}$  is almost twice as low both under hypoxic and hyperoxic conditions. The data obtained permit considering that the hematoparenchymatous barrier is one of regulators for O<sub>2</sub> fluxes and for tissue respiration intensity.

A. A. Bogomoletz Institute of Physiology,  
Academy of Sciences, Ukrainian SSR, Kiev

1. Артемьева А. И. Роль вен в гемодинамике мозга при гипоксической гипоксии // Венозное кровообращение и лимфообращение: Тез. докл. III Всесоюз. симпоз.— Таллин, 1985.— С. 8.
2. Березовский В. А. Напряжение кислорода в тканях животных и человека.— Киев: Наук. думка, 1975.— 276 с.
3. Березовский В. А., Сушко Б. С. Влияние диет с различным содержанием насыщенных и ненасыщенных жирных кислот на диффузию кислорода в мышечной ткани // Физиол. журн.— 1986.— 32, № 4.— С. 492—495.
4. Вержбинская Н. А. Проницаемость гематоэнцефалического барьера как показатель акклиматизации к гипоксии // Докл. АН СССР.— 1960.— 130, № 6.— С. 1374—1377.
5. Зальцман Г. Л. Физиологические основы пребывания человека в условиях повышенного давления газовой среды.— Л.: Медгиз, 1961.— 188 с.
6. Колчинская А. З. Кислородные режимы организма ребенка и подростка.— Киев: Наук. думка, 1973.— 320 с.
7. Майзелис М. Я. Гематоэнцефалический барьер и его регуляция.— М.: Медицина, 1973.— 182 с.
8. Маньковская И. Н. Массоперенос и утилизация кислорода в мышечной ткани, механизмы развития тканевой гипоксии в разные возрастные периоды: Автореф. дис. ... д-ра мед. наук.— Киев, 1985.— 48 с.
9. Пожаров В. П., Розова Е. В., Середенко М. М. Диффузационная способность и проницаемость легких для кислорода у собак разного возраста в норме и при острой гипоксической гипоксии // Физиол. журн.— 1979.— 25, № 4.— С. 364—370.
10. Росин Я. А. Гемодинамика и проницаемость // Руководство по физиологии: Физиология гистогематических барьеров.— М.: Наука, 1977.— С. 73—76.
11. Серебрякова Л. И., Гинзбург Е. М., Мазаев А. В., Трубецкой А. В. Диффузационная способность капиллярного русла сердца при ишемии миокарда // Физиол. журн.— 1981.— 27, № 2.— С. 281—283.
12. Середенко М. М., Жуковский Л. И., Цирульникова В. А. та інші. Фізіологічні критерії й шляхи підвищення ефективності корекції гіпоксичних станів // Вісн. АН УРСР.— 1982.— 46, № 2.— С. 31—41.
13. Шмидт-Нильсен. К. Физиология животных: Приспособление и среда.— М.: Мир, 1982.— Кн. 1.— 414 с.
14. Штерн Л. С. Цереброспинальная жидкость и ее взаимоотношения с кровью и нервными элементами головного и спинного мозга // Непосредственная питательная среда органов и тканей.— М.: Изд-во АН СССР, 1960.— С. 125—138.
15. А. с. 1120965 СССР, МКИ<sup>4</sup> А 61 В 6/00. Способ определения диффузционной способности гематопаренхиматозного барьера для кислорода / В. А. Березовский, В. И. Носарь, Н. А. Погребинская.— Опубл. 30.10.84. Бюл. № 40.
16. Aukland K., Bruce F., Bower M., Berliner R. Measurement of local blood flow with hydrogen gas // Circulat. Res.— 1964.— 14, N 2.— P. 164—187.
17. Bryant S. C., Navari R. M. Effect of plasma proteins on oxygen diffusion in the pulmonary capillaries // Microvas. Res.— 1974.— N 7.— P. 120—130.
18. Honig C., Frierson J., Nelson C. O<sub>2</sub> transport and  $\dot{V}_{O_2}$  in reating muscle: Significance for tissue-capillary exchange // Amer. J. Physiol.— 1971.— 220, N 2.— P. 357—363.
19. Kon Kazunori, Maeda Nobuji, Sekija Misuzu et al. A method for studying oxygen diffusion barrier in erythrocytes: effects of haemoglobin content and membrane cholesterol // J. Physiol. (Gr. Brit).— 1980.— 309, P. 569—590.
20. Lambertsen C. J. Effects of oxygen at high partial pressure // Handbook of physiology respiration.— Washington, 1965.— Vol. 2, P. 1027.